
Srovnání preparačního účinku laserového záření s ultrazvukovou mikropreparací a klasickou zubní vrtačkou

Dostálová T.¹, Jelínková H.², Němec M.², Koranda P.², Miyagi M.³,
Shi Y.³, Matsuura Y.³

¹Stomatologická klinika 1. LF UK a VFN,
přednosta prof. MUDr. J. Mazánek, DrSc.

²FJFI ČVUT, Praha,

děkan prof. ing. M. Havlíček, DrSc.

³Tohoku University, Graduate School of Engineering Department of
Electrical Communications, Sendai, Japonsko,
děkan prof. Y. Iguchi

Souhrn

Cílem studie je zhodnotit účinky dlouhých a krátkých pulzů záření Er:YAG laseru na tvrdé zubní tkáně a porovnat je s účinkem ultrazvukové mikropreparační techniky a klasického vrtání kuličkou.

Klíčová slova: stomatologie – preparace tvrdé zubní tkáně – Er:YAG laser

Dostálová T., Jelínková H., Němec M., Koranda P., Miyagi M., Shi Y., Matsuura Y.: Comparison of Preoperative Effect of Laser Radiation with Ultrasound Micropreparation and Classical Drilling Machine

Summary: The aim of this study is to evaluate the interation effect of Q-switched, and free running Er:YAG laser radiations, sonic, and classical drilling machine preparation on the hard dental tissues.

Key words: dentistry – hard tooth tissue preparation – Er:YAG laser

Prakt. zub. Lék., 53, 2005, č. 4, s. 73–76.

ÚVOD

Od doby sestrojení prvního rubínového laseru (1960) se laserové záření prakticky uplatňuje v mnoha lékařských aplikacích [1]. Svoje pevné místo získalo v oftalmologii, chirurgii, dermatologii a v posledních letech nabývá uplatnění také ve stomatologii, mimo jiné při preparaci tvrdých zubních tkání [2]. Odstranění kazivé léze pomocí prvního rubínového laseru v 60. letech 20. století bylo zcela neúspěšné. Hlavním důvodem byla vlnová délka ležící v červené oblasti spektra. Záření nebylo absorbováno v tvrdé zubní tkáni a nemohlo tak kazivou tkáň odstranit.

Na základě znalosti absorpcie laserového záření v tkáni obsahující vodu a hydroxyapatit se prokázalo, že účinná je vlnová délka ve střední nebo vzdálené infračervené oblasti (kolem 3 nebo 10 μm), nebo naopak krátká vlnová délka z oblasti ultrafialové [2, 3, 4].

V klinické praxi se dnes používají 3 druhy lase-

rů s přímou aplikací na preparaci zubů s vlnovými délkami ležícími ve středním infračerveném pásmu elektromagnetického spektra. Jsou to lasery Er:YAG (2940 nm), Er:YSGG (2790 nm) a Er:CTE:YAG (2690 nm) [2]. Odstranění tkáně při preparaci se liší jejím objemem daným absorpcí – Er:YAG laser ($13,000 \text{ cm}^{-1}$) Er:YSGG (7000 cm^{-1}) a Er:Cr:YSGG (4000 cm^{-1}) [2]. Nejvýkonnější je tedy Er:YAG. Na základě dlouholetných klinických zkušeností se prokázalo, že tyto lasery pracují efektivně, bez přítomnosti termického přehřátí a nepříjemných pocitů pacienta, jsou však relativně pomalé [5, 6, 7, 8]. Přestože sklovina obsahuje dostatečné množství vody (v průměru 12 %), je třeba chlazení při preparaci (ablaci – snesení), aby bylo zajistěno plynulé odpařování tkáně bez jejího poškození termickou reakcí [2, 9]. Laserový pulz způsobí mikroexplozi, která eliminuje uvolněný materiál [10]. Stejně lze odstranit i kompozitní materiály, skoionomerní cementy či kompomery [6]. Mikroretenční

povrch po laserové ablaci může nahradit i leptání skloviny či dentinu [11]. Povrch neobsahuje „smear layer“ [6, 12].

Cílem studie bylo zhodnotit účinky krátkých a dlouhých pulzů záření Er:YAG laseru na tvrdé zubní tkáně a porovnat je s účinkem ultrazvukové mikropreparační techniky a klasického vrtání kuličkou.

MATERIÁL A METODY

Příprava zubů

Pro experiment jsme použili intaktní čerstvě extrahované horní střední řezáky, které jsme uložili do fyziologického roztoku. Důvodem extrakcí byly parodontopatie. Zuby před pokusem jsme vyjmuli z roztoku, osušili a přilepili jsme je lepicím voskem na podložku. Do každého řezáku jsme vyvrtali celkem 12 kavit pomocí čtyř odlišných metod:

- ablace laserovým zářením pomocí Er:YAG laseru
 - Q-spínáné krátké pulzy
 - volně běžící dlouhé pulzy
- odstranění tkáně pomocí ultrazvukové preparační koncovky (preparační kulička) (Sonicsys micro KAVO)
- odstranění tkáně klasickou zubní vrtačkou s kuličkou (ISO 014, Maillefer)

Popis laserového systému

Er:YAG laserový systém použitý pro daný experiment byl navržen a realizován v laboratoři pevnolátkových laserů na ČVUT FJFI. Aktivní Er:YAG, krystal o průměru 4 mm a délce 89 mm, byl umístěn spolu s xenonovou výbojkou v keramické odrazené dutině protékané chladicí tekutinou. Optimalizovaný planparalelní rezonátor byl tvořen totálně odrazeným zrcadlem a dielektrickým zrcadlem s reflexí 83 %. Pro ovládání činitele jakosti rezonátoru (Q) byla do rezonátoru umístěna Pockelsova cela tvořená krystalem LiNbO₃ speciálně vybroušeným tak, že splňoval úlohu jak nelineárního krystalu stáčejícího rovinu polarizace procházejícího záření, tak úlohu polarizátoru vybírajícího záření s preferovanou polarizací. Laser pracoval buď ve volně běžícím režimu (generace dlouhých impulzů v oblasti stovek mikrosekund – vypnuté vysoké napětí na Pockelsově cele), nebo v Q-spínáném režimu (generace krátkých impulzů v oblasti desítek nanosekund – na Pockelsovou celu bylo přiloženo spínací napětí).

Maximální energie dosažená ve volně běžícím režimu byla 318 mJ a délka impulzu 250 µs. V Q-spínáném režimu byla maximální dosažená energie 60 mJ při délce impulzu 60 ns.

Laserové záření bylo na místo interakce vede-

no pomocí speciálního COP/Ag (cyclin olefin polymer silver coated) vlnovodu, který byl vyvinut zvlášť pro toto infračervené pásmo. Základem vlnovodu je skleněná trubice s vnitřní stěnou pokrytou nejprve vrstvou stříbra a následně vrstvou polymeru. V našem případě byl vnitřní průměr trubice 700 µm a délka vlnovodu byla 10 cm. Záření bylo do vlnovodu navedeno pomocí CaF₂ čočky (f = 55 mm). Vlnovod byl dále zakončen speciální válcovou křemennou koncovkou, aby se zabránilo jeho porušení.

Pro možnost srovnání interakce dlouhého (200 µs) a krátkého pulzu (80 ns) byla vybrána interakční intenzita $97 \times 10^3 \text{ W.cm}^{-2}$ pro volně běžící režim (energie pulzu 30 mJ) a $97 \times 10^6 \text{ W.cm}^{-2}$ pro Q-spínáný režim (energie pulzu 75 mJ). Pro jednu kavitu byl celkový počet použitých pulzů 30. Při vlastní interakci byla zubní tkán chlazena vodou.

Analýza

Po preparaci jsme zuby fotografovali pomocí stereomikroskopu (Nikon SMZ 2T, Japan) a povrch tkáně jsme hodnotili v elektronovém mikroskopu (JSM 5500 LV Jeol, Japan). Zuby byly zpracovány v režimu „low vacuum“ bez vysušení a povrchového pokrytí tvrdých tkání.

VÝSLEDKY

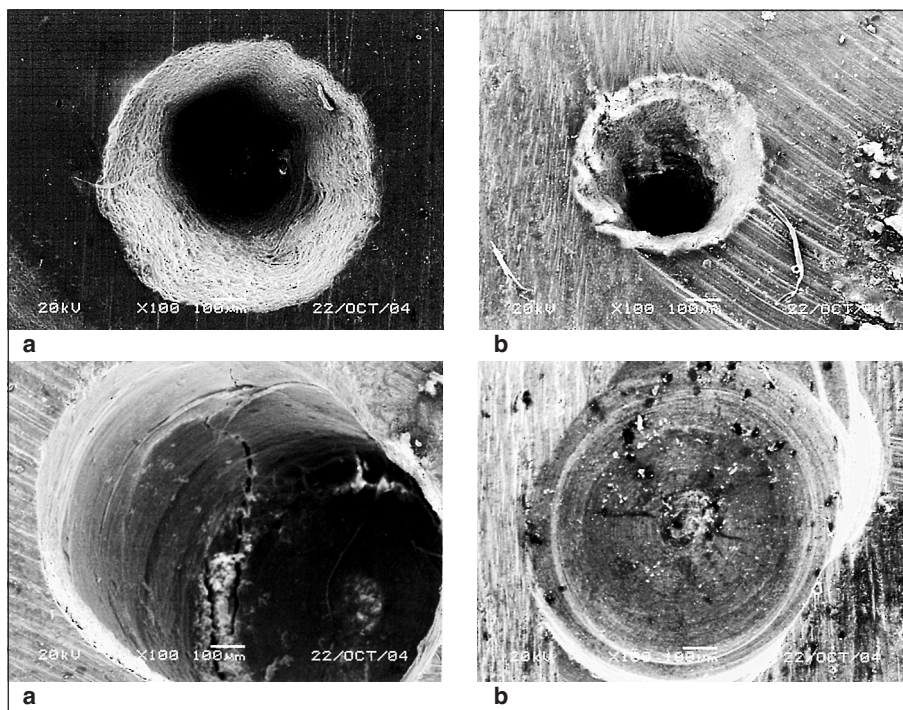
Z výsledků v elektronovém rastrovacím mikroskopu i fotodokumentace je zřejmé, že kavity připravené různými technikami (vrtání, ultrazvuk, laser) tvoří v tvrdých zubních tkáních zcela odlišné tvary a povrchy (obr. 1, obr. 2).

Vrtání kuličkou odebere blok tkáně (obr. 1c), kavita je oblá a hladká, povrch je pokryt vrstvou smear layer (obr. 2c). Ultrazvuková preparační koncovka ve tvaru kuličky vytvořila plochou miskovou kavitu (obr. 1d) s čistě ohraničenými okraji, stejně jako při odstraňování zubního kamene i zde v detailu vidíme tahy touto koncovkou (obr. 2d).

Při preparaci laserem vzniká kavita ve formě kráteru s dobré vyznačenými kraji (obr. 1a, 1b). Volně běžící režim laseru s dlouhými pulzy je účinnější, otvor je širší (obr. 1a), kraje jsou hladké, dentinové tubuly jsou otevřené, vstupy zatavené bez známek přítomnosti smear layer (obr. 2a). Q-spínáný režim krátkých pulzů působí spíše do hloubky (obr. 1b), tkán je zatavená, povrch dentinu je hladký, opět bez známek smear layer (obr. 2b).

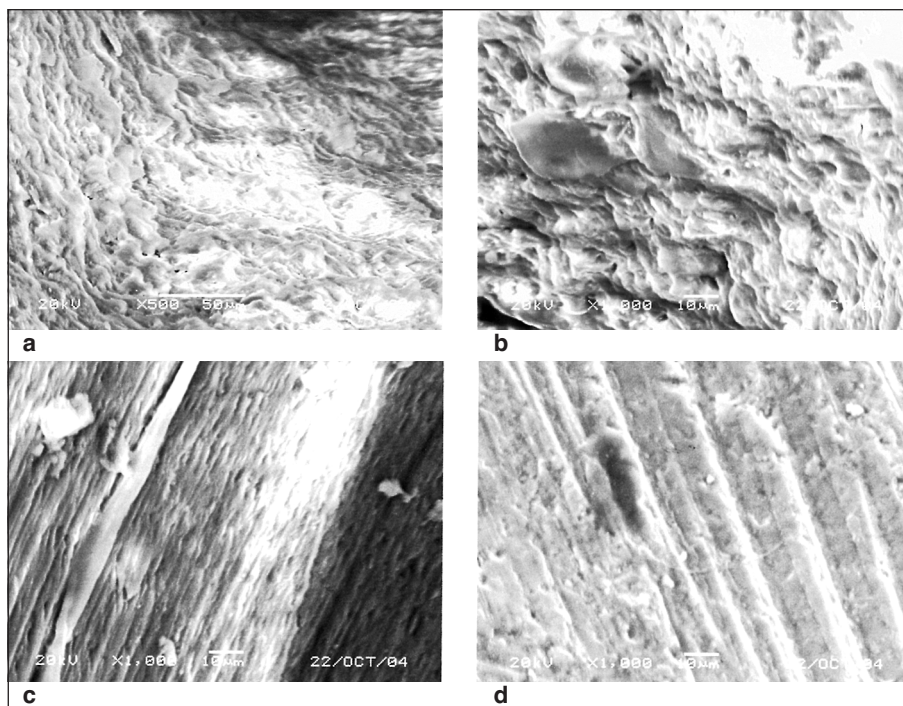
DISKUSE

Včasná detekce kazivé léze, mikropreparační techniky a moderní výplňové materiály s chemic-



Obr. 1. Srovnání kavit v dentinu pomocí laserového záření s pulzem: a) v mikrosekundové oblasti; b) v nanosekundové oblasti; c) klasickou vrtačkou; d) ultrazvukovou preparační koncovkou. Zvětšení 100x.

Fig. 1. Comparison of cavities in dentine by means of laser radiation and pulse: a) in microsecond region; b) in nanosecond region; c) with classical drilling machine; d) ultrasound preparation terminal. Magnification, 100x.



Obr. 2. Srovnání povrchu dentinu vytvořeného pomocí laserového záření s pulzem: a) v mikrosekundové oblasti; b) nanosekundové oblasti; c) klasickou vrtačkou; d) ultrazvukovou preparační koncovkou. Zvětšeno 100x.

Fig. 2. Comparison of dentine surface formed by means of laser radiation with a pulse: a) in microsecond region; b) in nanosecond region; c) with classical drilling machine; d) ultrasound preparation. Magnification, 100x.

kou vazbou k tvrdým zubním tkáním jsou bez sporu budoucností stomatologie [13]. Cílené odstranění malé kazivé léze technikou, která je málo invazivní a neboleslivá, představuje závažnou změnu při preparaci poškozené tvrdé zubní tkáně [10]. Laserová technika vytváří dobře formované kavity ve sklovíně i dentinu [14, 15, 16] kde, jak je zřejmé z našich experimentů, je povrch zatavený, dentinové tubuly jsou otevřené bez známek mechanicky rozdrcené tkáně. Proto je retence budoucí výplně větší a mikroretenční povrch nahradí i leptální skloviny [11, 13].

Odpaření tkáně je provázeno mikroexplozí, která s vodním sprejem odstraní zbytky tvrdých tkání, tkáně se současně dezinfikuje [10, 17]. Ve studii jsme prokázali, že této skutečnosti odpovídá i tvar dutiny, který se rozvíjá směrem k povrchu skloviny. Dlouhý nebo krátký pulz má zásadní vliv na hloubku a šířku vzniklého otvoru. Dlouhé pulzy (volně běžící režim) tvoří ploché široké otvory, série Q-spínaných krátkých pulzů působí do hloubky a formuje úzkou hlubokou dutinu.

Použití ultrazvuku je zatím podle literatury i našich experimentů spíše doplnková technika, která plošně preparuje a případně ohladí kraje kavyty [18].

Závěrem lze říci, že laserové techniky preparují hladkou, oblou, rozbíhavou kavitu, jejíž velikost a tvar závisí na parametrech aplikovaného Er:YAG záření.

Studie vznikla na základě projektu Grantové agentury Ministerstva zdravotnictví České republiky č. 7716-3.

LITERATURA

1. Stern, R. H., Sognnaes, R. F.: Laser beam effect on dental hard tissues. *J. Dent. Res.*, 43, 1964, (Spec. Issue), 873 (abst. 307).
2. Wals, L. J.: The current status of laser applications in dentistry. *Australien Dental Journal*, 48, 2003, s. 148–155.
3. Hibst, R., Keller, U.: Experimental studies of the application of the Er:YAG laser on dental hard substances. I. Measurement of the ablation rate. *Lasers Surg. Med.*, 9, 1989, s. 338–344.
4. Belikov, A. V., Erofeev, A. V., Shumilin, V. V., Thachuk, A. M.: Comparative study of the 3 micron laser action on different hard tissue samples using free running pulsed Er-doped YAG, YSGG, YAP and YLF lasers. *SPIE* 1993, s. 60–67.
5. Dostálková, T., Jelínková, H., Krejsa, O., Hamal, K., Kubelka, J., Procházka, S., Himmlová, L.: Dentin and pulp response to erbium: YAG laser ablation – a preliminary evaluation of human teeth. *Journal of Clinical Laser Medicine and Surgery* 15, 1997, s. 117–121.
6. Dostálková, T., Jelínková, H., Kučerová, H., Krejsa, O., Hamal, K., Kubelka, J., Procházka, S.: Noncontact Er:YAG laser ablation: Clinical evaluation. *Journal of Clinical Laser Medicine and Surgery*, 16, 1998, s. 273–282.
7. Keller, U., Hibst, R.: Effects of Er:YAG laser in caries treatment: a clinical pilot study. *Lasers in Surgery and Medicine*, 20, 1997, S. 32–38.
8. Matsumoto, K., Nakamura, Y., Mazeki, K., Kimura, Y.: “Clinical dental application of Er:YAG laser for Class V cavity preparation.” *Journal of Clinical Laser Medicine and Surgery*, 14, 1996, s. 123–127.
9. Freiberg, R. J., Cozean, C.: Pulse erbium laser ablation of hard dental tissue: the effects of atomized water spray vs water. *SPIE*, 2002, 4610, 74–84 r.
10. Hibst, R., Keller, U.: “Er:YAG laser for dentistry: Basics, actual questions, and perspectives.” *Medical Applications of Lasers II*. SPIE 2327, 1994, pp. 76–86.
11. Roubalíková, L.: Adhezivní úprava skoviny a dentinu Er:YAG laserem. *Prakt. zub.* Lék., 52, 2004, s. 101–106.
12. Zapletalová, Z., Kubínek, R., Vůjtek, M.: AFM vyšetření dentinového povrchu. *Čes. Stomat.*, 104, 2004, s. 180–185.
13. Cehreli, Z. C., Yazici, A. R., Akca, T., Ozgunaltay, G.: A morphological and micro-tensile bond strength evaluation of a single-bottle adhesive to caries-affected human dentine after four different caries removal techniques. *Journal of Dentistry*, 31, 2003, s. 429–435.
14. Dostálková, T., Jelínková, H., Krejsa, O., Hamal, K.: Evaluation of the surface changes in enamel and dentin due to possibility of thermal overheating induced by erbium:YAG laser radiation. *Scanning Microscopy*, 10, 1996, s. 285–291.
15. Hoke, J. A., Burkes, E. J., Gomes, E. D., Wolbarsht, M. L.: Erbium:YAG (2.94 mm) laser effects on dental tissues. *J. Laser. Appl.*, 2, 1990, s. 61–65.
16. Paghdialwa, A. F., Vaidyanathan, T. K., Paghdialwa, M. F.: Evaluation of Erbium:YAG laser radiation of hard dental tissues: analysis of temperature changes, depth of cuts and structural effects. *Scanning Microscopy*, 7, 1993, s. 989–997.
17. Hibst, R., Stock, K., Gall, R., Keller, U.: Controlled tooth surface heating and sterilization by ER:YAG laser radiation. *Laser applications in medicine and dentistry*. SPIE, 1996, 2922, s. 119–126.
18. Liebenberg, W. H.: Sonysis approx: An innovative addition to the restorative continuum. *Pract. Periodont. Aesthet. Dent.* 10, 1998, s. 913–922.

Prof. MUDr. Tatjana Dostálková, DrSc.

Stomatologická klinika

*1. LF UK a VFN
Kateřinská 32
121 08 Praha 2*

TOXIKOLOGIE PRO SESTRY

Kamil Švela, Miroslava Wimětalová a kol.

Prakticky se jedná o formu „minimum do kapsy z toxikologie“. Příručka obsahuje definici otrav, příčiny a rozdělení otrav, krevní jedy, lokální a celkový účinek jedů atd. V další části jsou popsány klinické příznaky otrav, předlékařské ošetření otrav, postup při péči o pacienta, popis otrav jednotlivými látkami (např. benzínem, benzenem, toulenem apod.). V poslední kapitole jsou uvedeny obecně platné zásady léčení otrav.

Vydalo Nakladatelství Neptun v roce 2002, ISBN 80-902896-3-0, 99 str., cena 150,- Kč.

Publikaci můžete objednat na adresu:

**Nakladatelské a tiskové středisko ČLS JEP, Sokolská 31,
120 26 Praha 2, fax: 224 266 226, e-mail: nts@cls.cz**

